Titre: SSNL112 - Barre soumise a un chargement thermique [...] Date: 01/08/2011 Page: 1/13 Responsable : Jean-Luc FLÉJOU Clé: V6.02.112 Révision: 6876

SSNL112 - Barre soumise a un chargement thermique cyclique

Résumé:

Ce cas test entre dans le cadre de la validation des relations de comportement en élastoplasticité des éléments barre pour la mécanique quasi-statique des structures.

Une barre encastrée a ces deux extrémités subit un chargement thermique cyclique induisant des efforts de traction-compression.

Chaque modélisation permet de valider une des relations de comportement non-linéaire introduite : Écrouissage isotrope linéaire avec critère de Von-Misès (modélisation A), écrouissage cinématique linéaire avec critère de Von-Misès (modélisation B), ainsi qu'un modèle dit de Pinto-Menegotto, représentant le comportement cyclique des armatures en acier dans le béton armé (modélisations C et D).

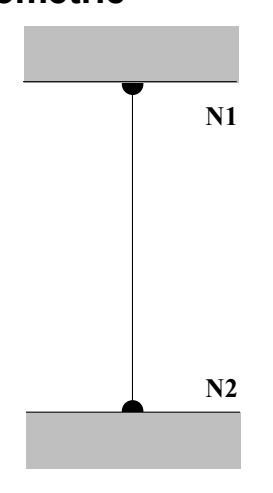
Date: 01/08/2011 Page: 2/13

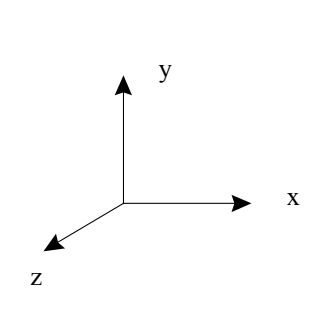
Titre: SSNL112 - Barre soumise a un chargement thermique [...]

Responsable : Jean-Luc FLÉJOU Clé : V6.02.112 Révision : 6876

1 Problème de référence

1.1 Géométrie

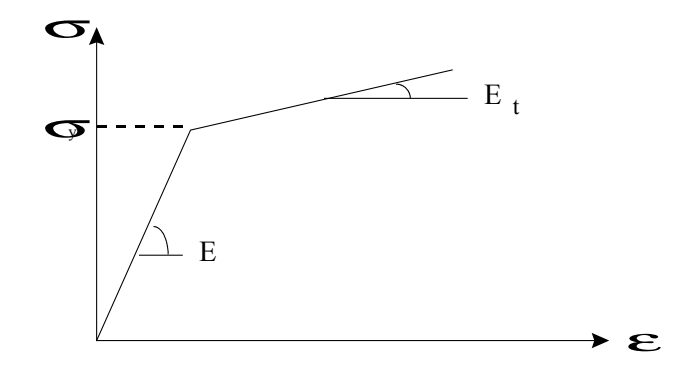




Longueur de la barre : 1 mSection de la barre : $5 cm^2$

1.2 Propriétés des matériaux

1.2.1 Écrouissages isotrope et cinématique linéaires



Module d'Young : $E=2.10^{11} Pa$

Pente d'écrouissage : $E_t = 2.10^9 Pa$ Limite d'élasticité : $\sigma = 2.10^8 Pa$

Limite d'élasticité : $\sigma = 2.10^8 Pa$ Coefficient de Poisson : v = 0.3

Coefficient de dilatation thermique : $\alpha = 1.10^{-5} K^{-1}$

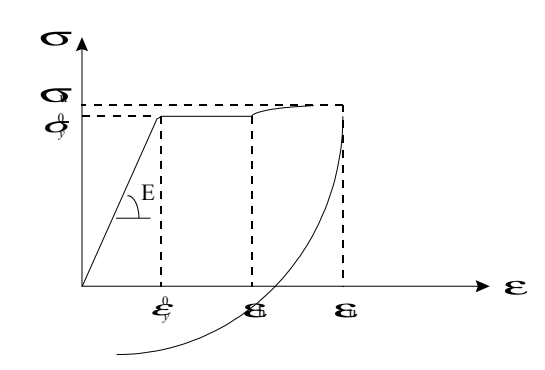
Date: 01/08/2011 Page: 3/13

Clé: V6.02.112

Titre: SSNL112 - Barre soumise a un chargement thermique [...]

Responsable : Jean-Luc FLÉJOU

1.2.2 Modèle de Pinto-Menegotto



Module d'Young: 2. $10^{11} Pa$ Ε $\sigma^{\scriptscriptstyle 0}$ Limite d'élasticité : $2.10^{8} Pa$ Coefficient de Poisson: = 0.3 ν Coefficient de dilatation thermique : $1.10^{-5} K^{-1}$ = α Déformation d'écrouissage : 2310^{-3} ε_h Contrainte ultime : $2.58\,10^8\,Pa$ σ_{u} Déformation ultime : = 3.10^{-2} 20 Coefficient définissant la courbe ζ : R_0 18.5 = Coefficient définissant la courbe ζ A_1 0.15 Coefficient définissant la courbe ζ = A_2 Coefficient de flambage : = 0.5 CCoefficient de flambage : 0.008 A

1.3 Conditions aux limites et chargement

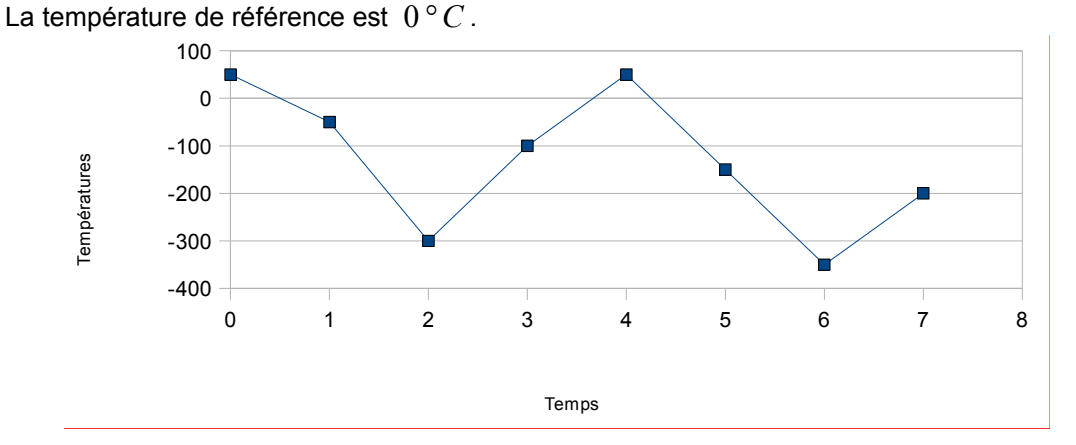
Conditions aux limites :

La barre est encastrée. Les déplacements sont donc bloqués dans les trois directions. En M et M2:DV-DV-DZ-0

En N1 et N2: DX = DY = DZ = 0

Chargement:

Le trajet de chargement est décrit par l'évolution de la température, uniforme dans la barre :



Titre: SSNL112 - Barre soumise a un chargement thermique [...]

Date: 01/08/2011 Page: 4/13 Responsable : Jean-Luc FLÉJOU Clé: V6.02.112 Révision: 6876

Solutions de référence

Méthode de calcul utilisée pour les solutions de référence 2.1

2.1.1 **Écrouissages linéaires**

Écrouissage isotrope

Pour une traction uniaxiale, le critère de plasticité s'écrit :

$$|\sigma_L| - R(p) \le 0$$

où p est la déformation plastique cumulée

$$R(p) = R'p + \sigma^y$$
 et $R' = \frac{E E_1}{E - E_1}$

Le critère s'écrit alors :

$$|\sigma_L| - R' p - \sigma^y \le 0$$

Le tenseur des contraintes s'obtient par :

$$\sigma = A \cdot (\varepsilon(u) - \varepsilon^p) - 3K \alpha (T - T^{ref}) Id$$

On en déduit donc l'expression de $\sigma_{\scriptscriptstyle L}$

$$\sigma_L = E(\varepsilon - \alpha T) - E \varepsilon^p \qquad \qquad \left[T^{ref} = 0 \right]$$

Dans notre cas, $\varepsilon = 0$ donc :

$$\sigma_I = E \, \varepsilon_I - E \, \varepsilon^p$$
 avec $\varepsilon_L = -\alpha T$

Donc:

• Si
$$|\sigma_L| - R(p) < 0$$
:

$$\rho$$
=0 et σ_L = $E \varepsilon_L$

• Si
$$|\sigma_L| - R(p) = 0$$
 :

$$p = \left(\frac{|\sigma| - \sigma^{y}}{R'}\right)$$
$$\sigma_{L} = E \varepsilon_{L} - E \varepsilon^{p}$$

Application au trajet de chargement

Instant 1:

$$\sigma = E \varepsilon = 200 \text{MPa}$$
 et $R(p) = R' p + \sigma^y = 100 \text{MPa}$ car $\rho = 0$.

On a bien
$$\sigma_L - R(p) \le 0$$
.

Le critère n'est pas franchi, l'évolution est élastique : $\sigma_L = 100 \mathrm{MPa}$ et $N = 100 \mathrm{kN}$

Instant 2:

Le critère est atteint :

$$\sigma_L = \frac{E}{E + R'} (R' \varepsilon_L + \sigma^y) = \frac{2 \cdot 10^{11}}{2 \cdot 10^{11} + 2.02 \cdot 10} (2.02 \cdot 10 \times 3.5 \cdot 10^{-3} + 2 \cdot 10) = 205 \text{MPa}$$

$$N = 102.5 \text{kN}$$

et
$$p = 2.475 \cdot 10^{-3}$$

Date: 01/08/2011 Page: 5/13

Clé: V6.02.112

Titre : SSNL112 - Barre soumise a un chargement thermique [...]

Responsable : Jean-Luc FLÉJOU

Instant 3:

On décharge élastiquement :

$$\sigma_L = E \varepsilon_L - E \varepsilon^p = 2 \cdot 10^{11} (1.5 \cdot 10^{-3} - 2.475 \cdot 10^{-3}) = -195 MPa$$

 $N = -97.5 kN$

Instant 4:

On plastifie à nouveau :

Le critère s'écrit : $|\sigma| - R' p - \sigma^y = 0$ avec $p = p_1 + p_2$ où $p_1 = 2.475 \cdot 10^{-3}$

On obtient donc:

$$\begin{aligned} p_2 &= \frac{|\sigma| - \sigma^y}{R'} - p_1 \\ \sigma &= -E \, \varepsilon^p = -E (p_1 - p_2) \\ \sigma &= \left(\frac{R'}{R' + E}\right) \left(-2 \, E \, p_1 - \frac{E \, \sigma^y}{R'}\right) = -207.9 \text{MPa} \end{aligned}$$

Et donc
$$N = -103.95 \text{kN}$$

Instant 5:

On décharge élastiquement :

$$\sigma_L = E \, \varepsilon_L - E \, \varepsilon^p = 2 \cdot 10^{11} (2 \cdot 10^{-3} - 1.0395 \cdot 10^{-3}) = 192.1 \, MPa$$

$$N = 96.05 \, kN$$

Instants 6 et 7:

Le raisonnement est identique

On trouve:

$$N_{(inst.7)} = 105.87 \text{kN}$$

 $N_{(inst.7)} = -44.13 \text{kN}$

Écrouissage cinématique

La méthode de calcul est identique, mais dans ce cas, le critère de plasticité s'écrit :

$$\sigma - X_{eq} - \sigma^{y} \le 0 \text{ avec } X_{eq} = C(\varepsilon^{p})_{eq} = \frac{3}{2}C \varepsilon^{p} = \frac{E E_{t}}{E - E_{t}} \varepsilon^{p}$$

Avec les notations précédentes, le critère s'écrit :

$$|\sigma_L - R' \varepsilon^p| - \sigma^y \le 0$$
 d'où $\sigma_L = R' \varepsilon^p \pm \sigma^y$ (suivant le sens de l'écoulement).

Application au trajet de chargement

Instant 1:

Le critère n'est pas franchi, l'évolution est élastique : $\sigma_L = 100 \text{MPa}$ et N = 100 kN

Instant 2:

Le critère est atteint :
$$|\sigma_L - R' \varepsilon^p| - \sigma^y = 0$$

 $\sigma_I = R' \varepsilon^p + \sigma^y = 2.02 \cdot 10 \times 2.475 \cdot 10^{-3} + 2 \cdot 10 = 205 \text{MPa}$

Instant 3:

On décharge élastiquement :

$$\sigma_L = E \varepsilon_L - E \varepsilon^p = 2 \cdot 10^{11} (1.5 \cdot 10^{-3} - 2.475 \cdot 10^{-3}) = -195 \text{MPa}$$

 $N = -97.5 \text{kN}$

Date: 01/08/2011 Page: 6/13

Clé: V6.02.112

Titre : SSNL112 - Barre soumise a un chargement thermique [...]

Responsable : Jean-Luc FLÉJOU

Instant 4:

$$|\sigma - R' \varepsilon^{p}| - \sigma^{y} = 0$$

$$\varepsilon^{p} = p_{1} - p_{2}$$

$$p_{2} = p_{1} - \frac{|\sigma + \sigma^{y}|}{R'}$$

$$\sigma = -E \varepsilon^{p} = -E (p_{1} - p_{2})$$

$$\sigma = -E \left(\frac{|\sigma + \sigma^{y}|}{R'}\right) = -198 \text{MPa}$$

$$N = -99 \text{kN}$$

Instant 5:

On décharge élastiquement :

$$\sigma_L = E \varepsilon_L - E \varepsilon^p = 2 \cdot 10^{11} (2 \cdot 10^{-3} - 9.9 \cdot 10^{-4}) = 202 MPa$$

 $N = 101 \text{kN}$

Instants 6 et 7:

Le raisonnement est identique. On trouve :

$$N_{(inst.6)} = 103 \text{kN}$$

$$N_{(inst.7)} = -47 \text{kN}$$

2.1.2 Modèle de Pinto-Menegotto

Ce modèle est décrit dans le Manuel de Référence de $Code_Aster$ [R5.03.09] [bib1]. La loi constitutive des aciers est composée de deux parties distinctes : le chargement monotone composé de trois zones successives (élasticité linéaire, palier plastique et écrouissage) et le chargement cyclique où le trajet entre deux points d'inversion (demi-cycle) est décrit par une courbe d'expression analytique du type $\sigma = f(\varepsilon)$.

Comme précédemment les déformations imposées sont des déformations thermiques : $\varepsilon = -\alpha T$

2.1.2.1 Cas sans flambage Premier chargement

• Élasticité linéaire : $\sigma = E \varepsilon$

Instant 1:

$$N = E \varepsilon S = 2.10^{11} \times 1.10^{-3} \times 5.10^{-4} = 100 \text{kN}$$

• Palier plastique : $\sigma = \sigma^y$

• Polynôme de degré 4 :
$$\sigma = \sigma_u - (\sigma_{su} - \sigma_y^0) \left(\frac{\varepsilon_u - \varepsilon}{\varepsilon_u - \varepsilon_h} \right)^4$$

Instant 2:

$$\varepsilon\!=\!3.5\cdot10^{-3}>\varepsilon_{_h}\!=\!2.3\cdot10^{-3}$$
 , on utilise le polynôme de degré 4 : $\sigma\!=\!209.416\mathrm{MPa}$ et $N\!=\!104.708\mathrm{kN}$

Cycles

Demi-cycle 1:

On détermine
$$\zeta_n^0$$
:

$$\zeta_p^0 = \varepsilon_r^0 - \varepsilon_y^0 = 3.5 \cdot 10^{-3} - 1.10^{-3} = 2.5 \cdot 10^{-3} \text{ car } \varepsilon_r^0 = \varepsilon_{(inst.2)}$$

Titre : SSNL112 - Barre soumise a un chargement thermique [...]
Responsable : Jean-Luc FLÉJOU

Date: 01/08/2011 Page: 7/13 Clé: V6.02.112 Révision: 6876

Puis $\Lambda \sigma^0$:

$$\Delta \sigma^0 = E_h \zeta_n^0 = 2.10^9 \times 2.5.10^{-3} = 5 \text{MPa}$$

D'où
$$\sigma_y^1 = \sigma_y^0 \cdot sign(-\zeta_p^0) + \Delta \sigma^0 = -200 + 5 = -195$$
MPa

On calcule ensuite ε_{v}^{1} :

$$\varepsilon_{y}^{1} = \varepsilon_{r}^{0} + \frac{\sigma_{y}^{1} - \sigma_{r}^{0}}{E} = 3.5 \cdot 10^{-3} + \frac{(-195 - 209.416)10}{2.0 \cdot 10^{11}} = 1.477 \cdot 10^{-3}$$

On détermine ainsi $\sigma^* = f(\varepsilon^*)$, définie par :

$$\sigma^* = b \, \varepsilon^* + \left(\frac{1-b}{(1+(\varepsilon^*)^R)^{(1/R)}}\right) \varepsilon^* \qquad \text{, avec } b = \frac{E_h}{E}$$

$$\varepsilon^* = \frac{\varepsilon - \varepsilon_r^0}{\varepsilon_v^1 - \varepsilon_r^0}$$

$$\sigma^* = \frac{\sigma - \sigma_r^0}{\sigma_v^1 - \sigma_r^0}$$

$$\xi_{p}^{0} = \frac{\zeta_{p}^{0}}{|\varepsilon_{v}^{1} - \varepsilon_{p}^{0}|} \text{ et } R^{I} = R_{0} - \frac{A_{1} \cdot \xi_{p}^{0}}{A_{2} + \xi_{p}^{0}}$$

On obtient $\xi_p^0 = -1.23$ et $R^1 = 3.51$

On peut alors calculer la valeur de σ aux instants 3 et 4 :

Instant 3:

$$\varepsilon^* = \frac{\varepsilon_{(inst.3)} - \varepsilon_r^0}{\varepsilon_y^1 - \varepsilon_r^0} = \frac{1.5 \cdot 10^{-3} - 3.5 \cdot 10^{-3}}{1.477 \cdot 10^{-3} - 3.5 \cdot 10^{-3}} = 0.988$$

$$\sigma^* = b \, \varepsilon^* + \left(\frac{1 - b}{(1 + (\varepsilon^*)^R)^{(1/R)}}\right) \varepsilon^* = 0.01 \times 0.988 + \left(\frac{1 - 0.01}{(1 + (0.988)^{3.51})^{(1/3.51)}}\right) = 0.82$$

et
$$\sigma = \sigma^*(\sigma_v^1 - \sigma_r^0) + \sigma_r^0 = 0.82 \times (-195 - 209.416) + 209.416 = -122 \, MPa$$

d'où
$$N = -61 \text{kN}$$

Instant 4:

On utilise la même méthode, avec $\varepsilon = 0$.

$$\varepsilon^* = 1.73$$

 $\sigma^* = 0.56$
 $\sigma = -20 MPa$
 $N = -10 \text{kN}$

Demi-cycle 2: Instant 5 et 6:

La méthode de calcul est identique, on détermine :

$$\boldsymbol{\zeta}_{p}^{1},\ \boldsymbol{\sigma}_{y}^{2},\ \boldsymbol{\varepsilon}_{y}^{2},\ \boldsymbol{\xi}_{p}^{1},\ \boldsymbol{R}^{2},\text{puis}\ \boldsymbol{\sigma}_{(inst.5)}^{*} = f\left(\boldsymbol{\varepsilon}_{(inst.5)}^{*}\right)\ \text{et}\ \boldsymbol{\sigma}_{(inst.6)}^{*} = f\left(\boldsymbol{\varepsilon}_{(inst.6)}^{*}\right)$$

et finalement $\sigma_{(inst.5)}$ et $\sigma_{(inst.6)}$.

Date: 01/08/2011 Page: 8/13

Titre : SSNL112 - Barre soumise a un chargement thermique [...]

Responsable : Jean-Luc FLÉJOU Clé : V6.02.112 Révision : 6876

Demi-cycle 3: Instant 7: Idem

2.1.2.2 Cas avec flambage

Premier chargement

Identique au cas précédent.

Cycles

Demi-cycle 1 (compression):

La méthode de calcul est identique, mais la valeur de la pente de l'asymptote est modifiée : On calcule un nouveau coefficient b_c :

$$b_{c} = a(5.0 - L/D)e\left(b\xi'\frac{E}{\sigma^{y} - \sigma^{\infty}}\right) = 0.006 \times (5.0 - 5.9)e^{\frac{(0.01 \times 1.477 \cdot 10^{-3} \frac{2 \cdot 10^{11}}{2 \cdot 10^{8} - 1.36 \cdot 10^{8}})}{2 \cdot 10^{8} - 1.36 \cdot 10^{8}}} = -0.0057$$

Il faut ensuite, comme dans le modèle sans flambage, déterminer σ_y^n . La raisonnement est identique, mais on ajoute une contrainte complémentaire σ_s^* afin de positionner correctement la courbe par rapport à l'asymptote.

$$\sigma_s^* = \gamma_s b E \frac{b - b_c}{1 - b_c} = 0.028 \times 0.01 \times 2 \cdot 10^{11} \times \frac{0.01 + 0.0057}{1 + 0.0057} = 0.87 MPa$$

où
$$\gamma_s$$
 est donné par : $\gamma_s = \frac{11.0 - L/D}{10 \left| e^{c(L/D)} - 1.0 \right|} = 0.028$

Demi-cycle 2 (traction):

• En traction, on adopte un module d'Young réduit :

$$E_r = E\left(a_5 + (1.0 - a_5)\,e^{-a_6\xi^{\text{n}^2}}\right) = 2\cdot 10^{11} \times \left(0.88 + (1 - 0.88)\,e^{(-620\times 1.473\cdot 10^{-6})}\right) = 1.99\cdot 10^{11}\,\text{MPa}$$
 avec $a_5 = 1.0 + (5.0 - L/D)/7.5 = 0.88$

Le reste de la méthode est identique.

2.2 Résultats de référence

Effort normal N constant sur la barre

2.3 Incertitude sur la solution

Aucune, la solution est analytique

2.4 Références bibliographiques

[Manuel de référence du Code_Aster [R5.03.09].

[2S. ANDRIEUX : TD 1 Trois barres thermoélastoplastiques Von Mises parfait. In « Initiation à la thermoplasticité dans le *Code_Aster* », HI-74/96/013 novembre 1996 (manuel de référence du cours).

Titre: SSNL112 - Barre soumise a un chargement thermique [...] Date: 01/08/2011 Page: 9/13 Responsable : Jean-Luc FLÉJOU

Clé: V6.02.112 Révision: 6876

Modélisation A 3

3.1 Caractéristiques de la modélisation

Le modèle est composé d'un élément de barre (BARRE). Loi de comportement : élastoplasticité avec écrouissage isotrope linéaire - Critère de Von Mises

Caractéristiques du maillage 3.2

2 nœuds. 1 maille SEG2

Grandeurs testées et résultats 3.3

Identification	Instants	Référence	Écart ($\%$)
effort normal N	1	1.0000E+05	0
effort normal N	2	1.0250E+05	0
effort normal N	3	-9.7500E+04	0
effort normal N	4	-1.0395E+05	0
effort normal N	5	9.6050E+04	0
effort normal N	6	1.0587E+05	0
effort normal N	7	-4.4129E+04	0

Titre: SSNL112 - Barre soumise a un chargement thermique [...]

Date: 01/08/2011 Page: 10/13 Responsable : Jean-Luc FLÉJOU Clé: V6.02.112 Révision: 6876

Modélisation B 4

4.1 Caractéristiques de la modélisation

Le modèle est composé d'un élément de barre (BARRE).

Loi de comportement : élastoplasticité avec écrouissage cinématique linéaire - Critère de Von Mises

Caractéristiques du maillage 4.2

2 nœuds.

1 maille SEG2

Grandeurs testées et résultats 4.3

Identification	Instants	Référence	Écart (%)
effort normal N	1	1.0000E+05	0
effort normal N	2	1.0250E+05	0
effort normal N	3	-9.7500E+04	0
effort normal N	4	-9.9000E+04	0
effort normal N	5	1.0100E+05	0
effort normal N	6	1.0300E+05	0
effort normal N	7	-4.7000E+04	0

Date: 01/08/2011 Page: 11/13

Clé: V6.02.112

Titre : SSNL112 - Barre soumise a un chargement thermique [...]

Responsable : Jean-Luc FLÉJOU

5 Modélisation C

5.1 Caractéristiques de la modélisation

Le modèle est composé d'un élément de barre (BARRE). Loi de comportement : modèle de Pinto-Menegotto sans flambage (valeur de ELAN inférieure à 5).

5.2 Caractéristiques du maillage

2 nœuds.

1 maille SEG2

5.3 Grandeurs testées et résultats

Identification	Instants	Référence	Écart (%)
effort normal N	1	1.0000E+05	0
effort normal N	2	1.0470E+05	0
effort normal N	3	-6.0777E+04	0
effort normal N	4	-9.1430E+04	0
effort normal N	5	7.6082E+04	0
effort normal N	6	1.0125E+05	0
effort normal N	7	-3.7965E+04	0

Titre : SSNL112 - Barre soumise a un chargement thermique [...]

Responsable : Jean-Luc FLÉJOU

Date : 01/08/2011 Page : 12/13

Clé : V6.02.112 Révision : 6876

6 Modélisation D

6.1 Caractéristiques de la modélisation

Le modèle est composé d'1 élément de barre (BARRE).

Loi de comportement : modèle de Pinto-Menegotto avec flambage (valeur de ELAN supérieure à 5).

6.2 Caractéristiques du maillage

2 nœuds.

1 maille SEG2

6.3 Grandeurs testées et résultats

Identification	Instants	Référence	Écart(%)
effort normal N	1	1.0000E+05	0
effort normal N	2	1.0470E+05	0
effort normal N	3	-6.0556E+04	0
effort normal N	4	-8.9078E+05	0
effort normal N	5	7.6905E+05	0
effort normal N	6	1.0125E+05	0
effort normal N	7	-3.8119E+04	0



Version default

Titre: SSNL112 - Barre soumise a un chargement thermique [...]

Responsable : Jean-Luc FLÉJOU

Date : 01/08/2011 Page : 13/13 Clé : V6.02.112 Révision : 6876

7 Synthèse des résultats

Les résultats calculés par Code_Aster sont en excellent accord avec les solutions analytiques.